# 論文 飛沫帯にある RC 部材の曲げ耐力に関する劣化予測手法

木下 真一\*1·内田 慎哉\*2·鎌田 敏郎\*3

要旨:本研究では、飛沫帯にある RC 部材を対象として、部材の設置環境条件および部材諸元と、既往の研究や実構造物での調査結果に基づいて設定した表面塩化物イオン濃度や鉄筋の腐食速度などの確率分布および統計量から、モンテカルロ法により曲げ耐力に関する劣化曲線の導出を行った。導出した劣化曲線から供用年数 33 年から 36 年での曲げ耐力を推定し、載荷により得られた実際の曲げ耐力との比較を行った。その結果、本研究の範囲内では、推定した曲げ耐力と実際の曲げ耐力は、比較的良い一致を示した。

キーワード: 桟橋, RC 部材, 塩害, 飛沫帯, 曲げ耐力, 劣化予測, 劣化曲線, モンテカルロ法

#### 1. はじめに

著者らは、既往の研究 <sup>1)2)</sup>を参考に、海洋環境下にある RC 部材を対象として、部材の設置環境条件および部材諸元と、既往の研究や実構造物での調査結果に基づいて設定した表面塩化物イオン濃度や鉄筋の腐食速度などの確率分布および統計量から、モンテカルロ法 (以降、MCM) により、曲げ耐力に関する劣化曲線を導出する方法についての検討を行なってきた <sup>3)</sup>。しかしながら、確率分布の設定の際に使用したデータには、飛沫帯、干満帯あるいは大気中など様々な条件下に加えて、電食試験結果も含まれており、たとえば、環境条件を飛沫帯に限定して本手法を適用する場合には、精度向上の観点からは検討の余地を残していた。

そこで、本研究では、塩害環境として最も厳しい飛沫帯を対象とすることとし、まず、飛沫帯での暴露実験や実構造物の調査結果に基づき前述の確率分布および統計量を見直すことで劣化曲線の導出手順の再構築を行った。続いて、飛沫帯にある RC 部材の曲げ耐力に関する劣化曲線の導出を試みた。さらに、対象とした部材において載荷試験を行い曲げ耐力を実測した既往の研究成果 4)を用いて、導出した劣化曲線の妥当性についての検証も併せて行った。

### 2. 飛沫帯にある RC 部材の概要

本研究で対象とした RC 部材は、図-1 に示す桟橋上部工の RC スラブである。この桟橋は 1968 年~1971 年の間に建設  $^4$ )され、山口県の下関港で 2004 年まで供用  $^5$ ) されたものである。図-1 に示すとおり、対象 RC スラブは飛沫帯に設置されており、H.W.L.から部材下面までの距離: d は 0.19m である。港湾の施設の技術上の基準・同解説  $^6$ および既往の研究  $^7$ によれば、桟橋のコンクリート上部工における表面の塩化物イオン濃度:  $C_o$ (kg/ $m^3$ )

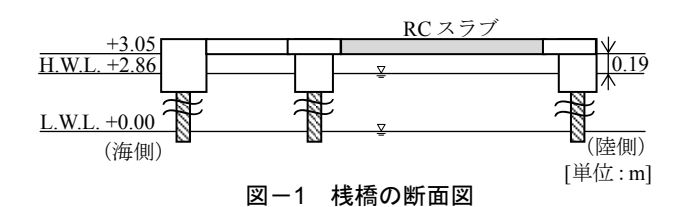


表-1 RC スラブの部材諸元

| スラブ厚さ(mm)           |              | 350  |  |  |  |  |
|---------------------|--------------|------|--|--|--|--|
| 上段鉄筋                | 径(mm)        | 16   |  |  |  |  |
|                     | 本数(本)        | 2    |  |  |  |  |
|                     | 有効高さ(mm)     | 225  |  |  |  |  |
|                     | かぶり(mm)      | 117  |  |  |  |  |
|                     | 降伏強度(N/mm²)  | 363  |  |  |  |  |
|                     | 弹性係数(kN/mm²) | 186  |  |  |  |  |
| 下段鉄筋                | 径(mm)        | 13   |  |  |  |  |
|                     | 本数(本)        | 5    |  |  |  |  |
|                     | 有効高さ(mm)     | 280  |  |  |  |  |
|                     | かぶり(mm)      | 63.5 |  |  |  |  |
|                     | 降伏強度(N/mm²)  | 380  |  |  |  |  |
|                     | 弹性係数(kN/mm²) | 183  |  |  |  |  |
| コンクリートの圧縮強度(N/mm²)  |              | 32.6 |  |  |  |  |
| コンクリートの弾性係数(kN/mm²) |              | 28   |  |  |  |  |
| 水セメント比(%)           |              | 47.5 |  |  |  |  |

は、H.W.L.と部材下面までの距離が 0~2.0m 程度の場合、 次式から推定できるとしている。

$$C_0 = -6.0d + 15.1 \tag{1}$$

したがって、 $C_0$  は式(1)より 14.0kg/m³ となる。

表-1 に RC スラブの部材諸元を示す。部材寸法、引 張側主鉄筋(上段および下段)、コンクリートの圧縮強 度は、桟橋調査結果の値を採用した<sup>4)</sup>。水セメント比は 同調査結果<sup>4)</sup>および既往の研究<sup>8)</sup>に基づいて 47.5%と仮

<sup>\*1</sup> 大阪大学大学院 工学研究科地球総合工学専攻 (正会員)

<sup>\*2</sup> 大阪大学大学院 工学研究科地球総合工学専攻 特任助教 博士(工学) (正会員)

<sup>\*3</sup> 大阪大学大学院 工学研究科地球総合工学専攻 教授 博士(工学) (正会員)

| Z = I Z Z Z Z Z Z Z Z Z Z Z Z Z Z Z Z Z |                       |      |       |        |        |  |
|---|-----------------------|------|-------|--------|--------|--|
| 確率変数                                    |                       | 確率分布 | 平均值   | 変動係数   | 標準偏差   |  |
| 鉄筋腐食発生限界塩化物イオン濃度                        | $X_I$                 | 一様   | 1.0   | 0.20   | 0.20   |  |
| 鉄筋位置での塩化物イオン濃度                          | $X_2$                 | 対数正規 | 1.1   | _      | 0.47   |  |
| 表面塩化物イオン濃度                              | $X_3$                 | 正規   | 1.00  | 0.363  | 0.363  |  |
| かぶりの施工誤差(mm)                            | $X_4$                 | 正規   | -0.16 |        | 7.8    |  |
| 塩化物イオンの見かけの拡散係数                         | $X_5$                 | 対数正規 | 0.34  | _      | 0.24   |  |
| 腐食ひび割れ発生時の腐食量                           | $X_6$                 | 対数正規 | 1.00  | 0.330  | 0.330  |  |
| コンクリートの圧縮強度                             | <i>X</i> <sub>7</sub> | 正規   | 1.00  | 0.0382 | 0.0382 |  |
| 腐食ひび割れ発生前の鉄筋の腐食速度                       | $X_8$                 | 一様   | 1.0   | 0.47   | 0.47   |  |
| 腐食ひび割れ発生後の鉄筋の腐食速度                       | $X_9$                 | 一様   | 1.0   | 0.33   | 0.33   |  |

表-2 各パラメータのバラツキを表す確率変数の確率分布および統計量

定した。コンクリートの弾性係数は、コンクリート標準 示方書【設計編】に基づき圧縮強度に対応する値とした。

### 3. 曲げ耐力に関する劣化曲線の導出方法

# 3.1 導出手順の概要

本研究では、2章で推定した表面塩化物イオン濃度お よび RC スラブの部材諸元から、曲げ耐力に関する劣化 曲線を導出した。具体的には、まず、鉄筋腐食発生限界 塩化物イオン濃度や腐食ひび割れ発生前後の腐食速度 などのバラツキを考慮するために,これらを確率変数と して取り扱い, 既往の研究および実構造物での調査結果 から確率変数の確率分布および統計量を設定した(3.2) 参照)。その後,鉄筋の腐食開始時刻および腐食ひび割 れ発生時刻を, MCM を用いて推定した(3.3 および 3.4 参照)。これらの推定結果を用いて、供用年数ごとに、 同じく MCM により鉄筋の質量減少率の平均値を求め、 「鉄筋の質量減少率の経時変化」を算出した(3.5 参照)。 さらに, 既往の研究成果に基づき, 「曲げ耐力比と鉄筋 の質量減少率との関係」を整理した(ただし、ここでは 入手できたデータ数の関係から、MCM は用いていない。 3.6 参照)。最後に、「鉄筋の質量減少率の経時変化」と 「曲げ耐力比と鉄筋の質量減少率との関係」から「曲げ 耐力に関する劣化曲線」を導出(3.7 参照)した。これ らの詳細を次節以降にそれぞれ示す。

# 3.2 確率変数の確率分布および統計量の設定方法

本研究で使用した確率変数の確率分布および統計量を表-2に示す。対象とした RC 部材が飛沫帯にあることを考慮して,著者らの既往の研究  $^3$ )で使用した確率変数の確率分布および統計量を一部見直すとともに,新たに確率変数を追加した。見直しを行った確率変数は,表-2中の $X_1$ ,  $X_2$ ,  $X_3$ ,  $X_4$ ,  $X_5$ ,  $X_5$  および $X_6$ , である。鉄筋腐食発生限界塩化物イオン濃度: $C_{lm}$  は,既往の文献  $^9$ によれば,1.2kg/m $^3$ ~2.5kg/m $^3$  の範囲となる。これより, $C_{lm}$  の確率分布を一様分布として,平均値:1.85kg/m $^3$  および標準偏差:0.375kg/m $^3$  を算出した。平均値が 1.0 となるよ

うに平均値および標準偏差を無次元化して、これらを  $X_1$  の統計量とした (表-2 参照)。  $X_2$  および  $X_3$  は,飛沫帯にある実構造物での調査結果  $^{4),10),111}$  を参考に決定した。まず,  $X_2$  については,調査結果を Fick の拡散方程式の解で回帰することにより表面塩化物イオン濃度と見かけの拡散係数をそれぞれ算定した。続いて,これらの算定値から任意の位置での塩化物イオン濃度を Fick の拡散方程式の解により推定した。調査結果を推定値で除した無次元量から平均値および標準偏差をそれぞれ算出した。続いて,  $X_3$  は,Fick の拡散方程式の解で回帰することにより算定した見かけの拡散係数を次式で推定した見かけの拡散係数で除し,平均値および標準偏差をそれぞれ求めた。

$$log_{10} D = -3.9 \left( \frac{W}{C} \right)^2 + 7.2 \left( \frac{W}{C} \right) - 2.5$$
 (2)

ここで、D:塩化物イオンの見かけの拡散係数( $cm^2/F$ )、W/C:水セメント比[=0.475]である。なお、X、およびX、の分布は対数正規分布とした。 X。およびX、は、飛沫帯で暴露した供試体での実験結果  $^{12),13),14)$ を、式(3)および(4)にそれぞれ代入して求めた腐食速度から決定した。

$$V_b = W_c / (t_{cr} - t_{corr.}) \tag{3}$$

$$V_{a} = (W - W_{c})/(t - t_{cc}) \tag{4}$$

ここに、 $V_a$ :腐食ひび割れ発生前の鉄筋の腐食速度 (mg/cm²/年),  $W_c$ :腐食ひび割れ発生時の腐食量(mg/cm²),  $t_{cor}$ :腐食ひび割れの発生時刻(年),  $t_{corr}$ :腐食開始時刻(年),  $V_a$ :腐食ひび割れ発生後の鉄筋の腐食速度(mg/cm²/年), W:  $t_{corr}$ 以降の任意の供用年数 t (年)における腐食量 (mg/cm²)である。ただし, $W_c$ が不明なものについては,Qi らが提案している腐食ひび割れ幅から鉄筋の腐食量を推定する式  $^{15}$ により求めた。腐食ひび割れ発生時のひび割れ幅は 0.1mm $^{16}$ と仮定した。その結果, $V_a$  は 2.3~21.9mg/cm²/年, $V_a$  は 21.9~64.9mg/cm²/年を得た。ただし, $V_a$  の上限値は,露出の鋼材・管材などの実用上の限界腐食速度: 78.7mg/cm²/年  $^{17}$ に変更した。以上より, $V_a$  および $V_c$  の平均値は,それぞれ 12.1 mg/cm²/年および

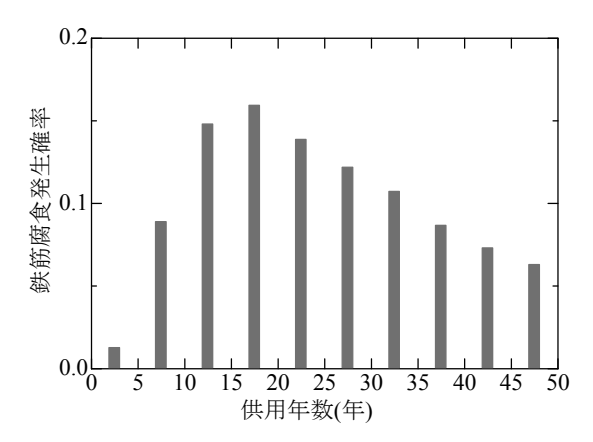


図-2 鉄筋腐食発生確率

50.3mg/cm²/年とした。なお、 $X_s$ および $X_s$ はいずれも一様分布として、平均値で無次元化した。

一方,本研究で新たに追加した確率変数は $X_3$ および $X_7$ である。特に, $X_3$ の表面塩化物イオン濃度については,飛沫帯にある実構造物での調査結果<sup>7)</sup>に基づき,確率分布を正規分布,H.W.L.から RC 部材下面までの鉛直距離が  $0.0\sim0.5$ m での標準偏差:5.05kg/m³を採用した。平均値は式(1)より求めた 14.0kg/m³とした。一方, $X_7$ のコンクリートの圧縮強度については,確率分布および変動係数は,徳富が実施した試験体 100 体での結果 18)を参考に正規分布および 0.0382 とした。平均値は桟橋調査結果 4)に基づき 32.6N/mm²とした。なお, $X_3$ および $X_7$ のいずれの場合も,平均値が 1.00 となるように無次元化した。

確率変数  $X_4$  および  $X_6$  については、著者らの既往の研究  $^{3)}$ と同じとした。理由は、 $X_4$  は部材の設置環境に依存しないためであり、 $X_6$  は飛沫帯にある実構造物での調査結果などの事例が少なかったためである。

### 3.3 鉄筋腐食発生の判定と腐食開始時刻の算出

任意の供用年数: t (年)における鉄筋位置での塩化物イオン濃度: C (kg/m³)が、 $C_{lim}$  [=1.85(kg/m³)]を超えた場合に、鉄筋が腐食したと判定した ( $g_1$  < 0 で鉄筋腐食発生)。判定式:  $g_1$  = 0 として t について解くと、 $t_{corr.}$  (年)が算出できる。以下に判定式  $^{1),2),3)$ および  $t_{corr.}$  の算出式  $^{3)}$ をそれぞれ示す。

$$g_{1} = x_{1}C_{lim} - C(c, C_{0}, D, t)$$
(5)

$$C = x_{2} \left[ x_{3} C_{0} \left\{ 1 - erf \frac{0.1(c + x_{4})}{2\sqrt{x_{5}Dt}} \right\} \right]$$
 (6)

$$t_{corr.} = \frac{1}{4x_{s}D} \left\{ \frac{0.1(c + x_{4})}{erf^{-1} \left( 1 - \frac{x_{1}C_{lm}}{x_{2}x_{3}C_{0}} \right)} \right\}^{2}$$
 (7)

ここで, c: かぶり [=63.5(mm)],  $x_1, x_2, x_3, x_4, x_5$ :

 $C_{lim}$ , C,  $C_0$ , c, D それぞれのバラツキを表す確率変数の MCM による標本観測値である。見かけの拡散係数は、対象 RC スラブが普通ポルトランドセメントを使用して W/C を 0.475 とし、式(2)により求めた。

試行回数n=10,000回のMCMにより標本観測値: $x_1 \sim x_5$ をそれぞれ発生させ,鉄筋の腐食開始時刻をそれぞれ算出した。 $\mathbf{Z} = \mathbf{Z}$  に供用年数 5 年毎に腐食発生と判定した数をカウントし,供用年数 50 年までの腐食発生確率に関するヒストグラムを示す。図によれば,供用年数 15年~20年までの間で鉄筋が腐食する確率が最も高く,以降,時間の経過とともに小さくなった。

# 3.4 腐食ひび割れ発生の判定とひび割れ発生時刻の算出

任意の供用年数:t(年)における鉄筋の腐食量: $Q(mg/cm^2)^{11,21,31}$ が、 $W_c(mg/cm^2)^{15)}$ を超えた場合に、腐食ひび割れ発生と判定した( $g_2<0$ で腐食ひび割れ発生)。判定式: $g_2=0$ としてtについて解くと、 $t_c$ (年)が算出できる。以下に判定式  $^{11,21,31}$ および $t_c$  の算出式  $^{31}$ をそれぞれ示す。

$$g_2 = x_6 \eta W_c - Q(V_b, t_{corr}, t) \tag{8}$$

$$Q(V_b, t_{corr.}, t) = x_8 V_b (t - t_{corr.})$$

$$\tag{9}$$

$$t_{cr} = t_{corr.} + \frac{x_o \eta W_c}{x_o V_c} \tag{10}$$

$$W_{c} = \frac{100 \rho_{s}}{\pi (\gamma - 1)} \left[ \alpha_{0} \beta_{0} \frac{0.22 \left[ \left\{ 2 \left( c + x_{4} \right) + \varphi \right\}^{2} + \varphi^{2} \right]}{E_{c} \left( c + x_{4} + \varphi \right)} \left( x_{s} f_{c}^{c} \right)^{2} \right]$$

$$+\alpha_{1}\beta_{1}\frac{c+x_{4}+\varphi}{5(c+x_{4})+3\varphi}w_{cr}$$
 (11)

ここで、 $\eta$ :腐食ひび割れ発生時の腐食量に関する補正係数[=3.68<sup>2),3)</sup>]、 $V_b$ =12.1(mg/cm²/年)、 $\rho_c$ :鉄筋の密度 [=7.85(mg/mm³)]、 $\gamma$ :腐食生成物の体積膨張率[=3.0]、 $\varphi$ :鉄筋径[=13(mm)]、 $E_c$ :コンクリートの弾性係数[=28.0 ×  $10^3$ (N/mm²)]、 $f_c$ :コンクリートの圧縮強度 [=32.6(N/mm²)]、 $w_a$ :腐食ひび割れが発生したときのひび割れ幅[=0.1(mm)<sup>16</sup>]、 $x_b$ , $x_s$ , $x_s$ : $W_c$ , $f_c$ , $V_b$  のそれぞれのバラツキを表す確率変数の MCM による標本観測値、 $\alpha_o$ , $\beta_o$ , $\alpha_i$ , $\beta_i$ :かぶり、鉄筋径およびコンクリートの圧縮強度に関する補正係数である。この補正係数は、以下の式 150により求めることができる。

$$\alpha_0 = (-0.0005\varphi + 0.028)(c + x_4)$$

$$+(-0.0292\varphi + 1.27)$$
 (12)

$$\beta_0 = -0.0055 x_7 f_c' + 1.07 \tag{13}$$

$$\alpha_{1} = (0.0007\varphi - 0.04)(c + x_{4}) \tag{14}$$

$$\beta_1 = -0.0016x_2 f'_1 + 1.04 \tag{15}$$

確率変数:  $X_a$ ,  $X_a$ ,  $X_a$ , および  $X_a$ の標本観測値  $X_a$ ,  $X_a$ , および  $X_a$  を試行回数  $X_a$  =10,000 回の MCM によりそれぞれ発生させ、腐食ひび割れの発生時刻をそれぞれ算出した。 図  $X_a$  に供用年数  $X_a$  5 年毎に腐食ひび割れ発生と判定した数をカウントし、供用年数  $X_a$  50 年までの腐食ひび割れ発

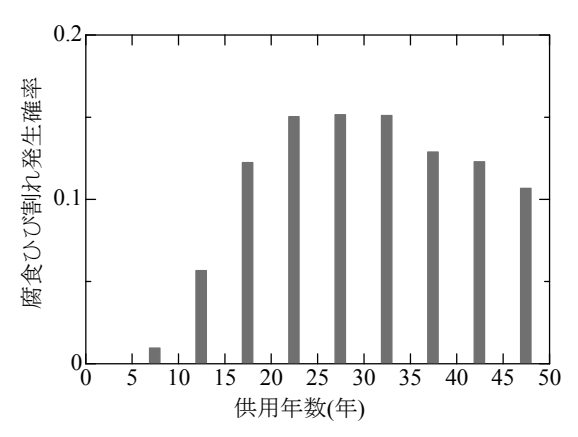


図-3 腐食ひび割れ発生確率

生に関するヒストグラムを示す。供用年数 20 年から 35 年において腐食ひび割れが発生する確率が最も高くなっていることが確認できる。また、腐食ひび割れ発生の確率が最も高い年数は、鉄筋の腐食開始のそれよりも遅くなっていることもわかる。

#### 3.5 鉄筋の質量減少率の算出

ここでは、3.3 および 3.4 で求めた 10,000 個の  $t_{corr.}$  (年) と  $t_{cr}$  (年)のペアを用いて、供用年数 0 から 50 年までの鉄筋の質量減少率の平均値をそれぞれ算出する方法について説明する。鉄筋の質量減少率を算出するためには、供用年数 1 年ごとに鉄筋の腐食量を求める必要がある。腐食量を求める具体的な手順としては、以下の 3 ケースを想定し、それぞれのケースごとに腐食量を算出した。すなわち、腐食量を算出する供用年数:t の時点において、腐食ひび割れが既に発生している場合(ケース  $1:t_{corr.}$   $< t_{cr.}$   $< t_{cr.}$   $< t_{cr.}$   $< t_{cr.}$  ) が筋食していない場合(ケース  $11:t_{corr.}$   $< t_{cr.}$   $< t_{cr.}$  ) である(図 -4 参照)。ケース 1 における腐食量の算出式を式(16) に、ケース 1 でのそれを式(17)に示す。なお、ケース 1 については、式(9)と同じである。

$$Q(V_{\scriptscriptstyle b}, V_{\scriptscriptstyle a}, t_{\scriptscriptstyle o}, t) = x_{\scriptscriptstyle s} V_{\scriptscriptstyle b}(t_{\scriptscriptstyle o} - t_{\scriptscriptstyle our}) + x_{\scriptscriptstyle g} V_{\scriptscriptstyle a}(t - t_{\scriptscriptstyle or})$$
(16)

 $Q = 0 \tag{17}$ 

ここで、 $V_a$  =50.3(mg/cm²/年)、 $x_s$ :  $V_a$  のバラツキを表す確率変数の MCM による標本観測値である。腐食量を求めようとする供用年数: t と 3.3 および 3.4 で求めた 10,000 個の  $t_{cor.}$ (年)と  $t_c$ (年)のペアとを比較し、上記のケース I~III のどのケースに分類されるかを決定した。その後、ケースごとに式(9)、(16)および(17)を適宜使い分け、供用年数 1 年ごとに 10,000 個の腐食量を求めた。最後に、供用年数 1 年ごとに以下の式から鉄筋の質量減少率の平均値:  $\omega_m$  を算出した。

$$\omega_{\text{ave.}} = \frac{1}{10000} \sum_{i=1}^{10000} \left\{ \frac{Q_i}{(\varphi \rho/4) \times 100} \right\}$$
 (18)

算出した鉄筋の質量減少率の平均値と供用年数との関

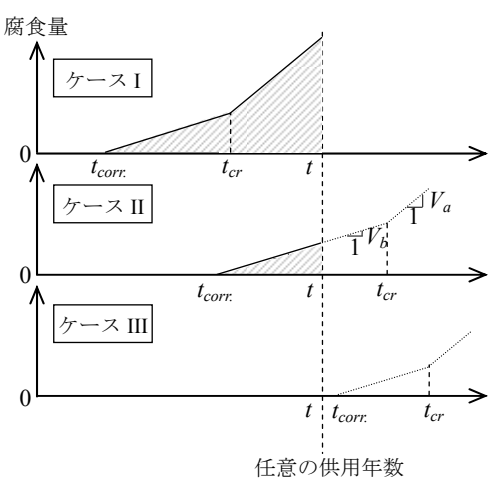


図-4 任意の供用年数における鉄筋の質量減少 の算出方法の概念図

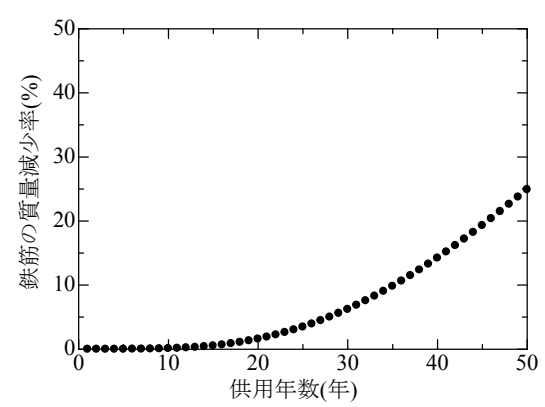


図-5 鉄筋の質量減少率の平均値の経時変化

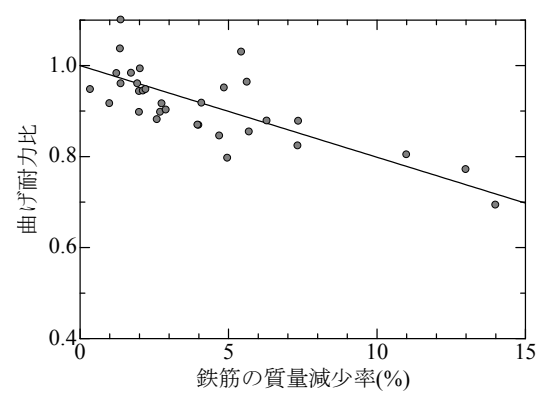


図-6 曲げ耐力と鉄筋の質量減少率との関係

係を図-5に示す。

# 3.6 曲げ耐力と鉄筋の質量減少率の関係

RC はり供試体を対象に、電食試験以外の方法で鉄筋の腐食促進試験を行ない、その後、曲げ載荷試験を行なって得られた最大荷重とその供試体での鉄筋の質量減少率との関係を既往の研究 <sup>19)~23)</sup>を参考にしてまとめたものを図-6に示す。また、回帰式を以下に示す。

$$L = -2.01 \times 10^{-2} \times m + 1.00 \tag{19}$$

ここで、L:曲げ耐力比、m:鉄筋の質量減少率(%)である。

# 3.7 曲げ耐力に関する劣化曲線

図-5 において供用年数 1 年ごとに質量減少率の平均値を判読し、これらの値を図-6 から算出した回帰式(19)にそれぞれ代入して、曲げ耐力比を求めた。この計算を供用年数が 50 年となるまで繰り返し、供用年数と曲げ耐力の関係、すなわち、曲げ耐力の劣化曲線を算出した。図-7 に曲げ耐力の劣化曲線(図中の●)を示す。

### 4. 導出した劣化曲線の検証

導出した劣化曲線の妥当性を検証するため, 2004年に 撤去したRCスラブからはり状に切り出したRC部材(幅 1,010mm×高さ350mm×長さ5,000mm) に対して4点曲 げ載荷試験(載荷スパン:3,700mm, モーメントスパン: 800mm, 載荷点から支点までの距離: 1,450mm) を行っ た既往の研究成果4)と比較することとした。載荷試験の 結果,最大荷重は139kNであった。ここで,建設当時の 健全な状態での RC スラブの設計曲げ耐力を推定するた め、有限要素法による解析を行った。解析モデルを図ー 8 に示す。コンクリートの要素寸法は、高さ 25mm、長 さ 25mm とした。コンクリートの材料モデルには、図ー 9 に示す応力-ひずみ関係を適用した。圧縮応力下にお いては、圧縮強度: f'に達するまで放物線とし、その後 は終局ひずみ:  $\epsilon'_{\alpha}$  となるまで線形で軟化するように設定 した。 $\varepsilon'_{cr}$ の値は,圧縮破壊エネルギー: $G_{cr}$  (N/mm)を考 慮して決定した。以下に圧縮破壊エネルギーの算出式を 示す。

$$G_{c} = 8.8(f_c')^{V_2}$$
 (20)

これに対して、引張応力下では、引張強度: $f_{\iota}$ に達するまで線形とし、その後は引張破壊エネルギー: $G_{\iota_{\iota}}$  [=150(N/mm)]<sup>24)</sup>で定義される終局ひずみ: $\varepsilon_{\iota_{\iota}}$  に達するまで指数曲線で軟化するようにした。解析で使用したコンクリートの物性値を表-1 に示す。コンクリートの引張強度およびポアソン比は、対象桟橋での調査結果  $^{4}$ がないため、それぞれ  $^{3}$   $^{2}$   $^{2}$   $^{2}$   $^{3}$   $^{4}$   $^{5}$ 

一方,鉄筋は離散鉄筋モデルとした。鉄筋の材料モデルには,図-10 に示すトリリニア型である。図中の  $E_s$  は 弾性係数,  $E_s'$  [ $=0.01E_s$  ] $^{25}$ )は硬化後の剛性,  $f_s$  は降伏強度,  $f_u$  は 引張強度,  $\epsilon_s$  は降伏強度時のひずみ,  $\epsilon_s$  [=0.01] $^{25}$ )は硬化開始時のひずみ,  $\epsilon_u$  [=0.2] $^{25}$ )は破断時のひずみである。表-1 に鉄筋の物性値を示す。

以上の条件で解析を行った結果、最大荷重は約170kNとなった。これより、飛沫帯にあるRC部材の曲げ耐力比は、実験によって測定した最大荷重を解析で求めた最大荷重で除し、0.818となる(図-7中の△)。以上のことから、導出した劣化曲線から推定した供用年数が33年~36年での曲げ耐力比は、実際の曲げ耐力比と概ね良

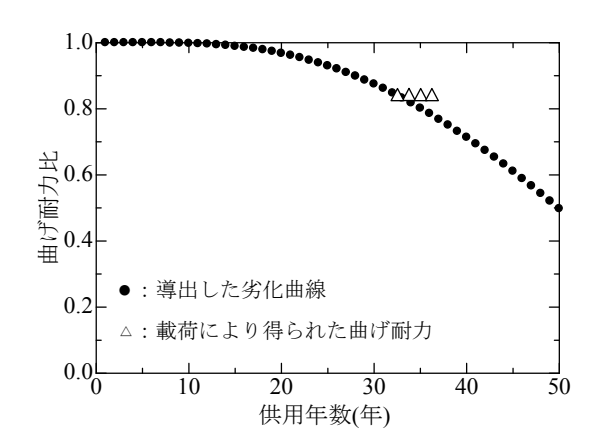
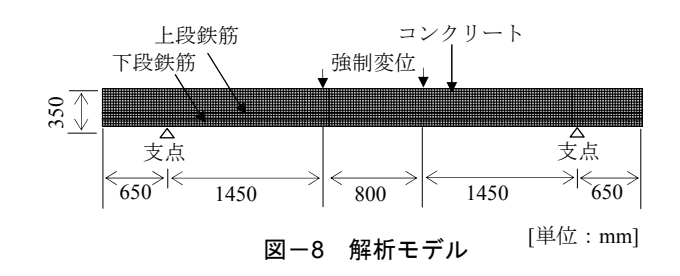


図-7 曲げ耐力の劣化曲線



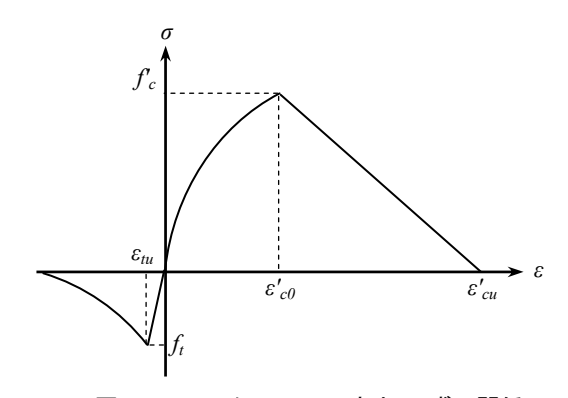


図-9 コンクリートの応力-ひずみ関係

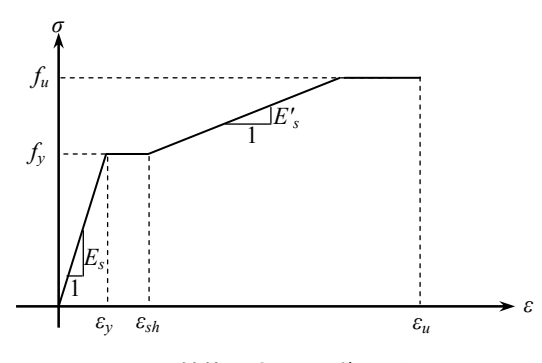


図-10 鉄筋の応力-ひずみ関係

い対応関係を示すことが明らかとなった。

### 5. まとめ

本研究では、飛沫帯での暴露実験や実構造物の調査結果に基づき確率分布および統計量の見直しを行うこと

で劣化曲線の導出手順の再構築を行った。導出した劣化 曲線から供用年数33年から36年での曲げ耐力を推定し、 載荷により得られた実際の曲げ耐力と比較した。その結 果、本研究の範囲内では、推定した曲げ耐力と実際の曲 げ耐力は、比較的良い一致を示した。

#### 参考文献

- 土木学会:続・材料劣化が生じたコンクリート構造物の構造性能,コンクリート技術シリーズ85,2009
- 2) 吉田郁政, 秋山充良, 鈴木修一, 山上雅人: Sequential Monte Carlo Simulation を用いた維持管理のための信 頼性評価手法, 土木学会論文集 A, Vol.65, No.3, pp.758-775, 2009.8
- 3) 内田慎哉,鎌田敏郎,木下真一:塩害環境下にある RC 部材の曲げ耐力の予測手法に関する基礎研究, コンクリート構造物の補修,補強,アップグレード 論文報告集,第10巻,pp.207-214,2010
- 4) 加藤絵万,岩波光保,山路 徹,横田 弘:建設後 30年以上経過した桟橋上部工から切り出したRC部 材の劣化性状と構造性能,港湾空港技術研究所資料, No.1140,2006
- 5) 山路 徹,渡邊弘子,小牟禮建一,濵田秀則,岩波 光保:海洋環境下で30年以上供用された桟橋上部 エコンクリートの耐久性,土木学会第57回年次学 術講演会講演概要集,第5部門,pp.1027-1028,2002
- 6) 日本港湾協会:港湾の施設の技術上の基準・同解説, p.488, 2008.7
- 7) 山路 徹, 横田 弘, 中野松二, 濱田秀則: 実構造 物調査および長期暴露試験結果に基づいた港湾 RC 構造物における鉄筋腐食照査手法に関する検討, 土 木学会論文集 E, Vol.64, No.2, pp.335-347, 2008.5
- 8) 大即信明,下沢 治:港湾工事におけるコンクリートの品質調査報告,港湾技研資料,No.429, 1982.
- 9) 建設省東北地方建設局酒田工事事務所:温海地区塩害橋対策技術報告書, p.6, 1998.3
- 10) 建設省土木研究所:土木研究所資料 飛来塩分量全 国調査 (III) -調査結果およびデータ集-,土木研 究所資料,第 2687 号,1988
- 11) 川村 力,谷村幸裕,曽我部正道,鳥取誠一,長谷川雅志,東川孝治:鉄道構造物の調査に基づくコンクリート中への塩化物イオン浸透に関する研究,土木学会論文集,No.781/V-66,pp.193-204,2005.2
- 12) 松村卓郎, 西内達雄:沖縄における 13 年間の暴露 実験による鉄筋コンクリートの塩害劣化に関する 検討,コンクリート工学年次論文集, Vol.30, No.1, pp.795-800, 2008

- 13) 松村卓郎, 金津 努, 西村達雄: 7 年間海岸に暴露 した鉄筋コンクリート試験体への交流インピーダ ンス法を用いた鉄筋腐食検査手法の適用, 材料, Vol.51, No.5, pp.581-586, 2002.5
- 14) 桝田佳寛, 花栄 浩, 松林裕二, 原 謙二, 安田正 雪:塩化物を含んだコンクリート中の鉄筋腐食速度 に関する実験, 日本建築学会構造系論文報告集, 第 435 号, pp.19-27, 1992.5
- 15) Qi, L., 関 博:鉄筋腐食によるコンクリートのひび 割れ発生状況及びひび割れ幅に関する研究, 土木学 会論文集, No.669/V-50, pp.161-171, 2001.2
- 16) 中川裕之,田中大博,横田 優,松島 学:塩水を 用いた乾湿繰返し促進腐食実験によるひび割れモ ードとひび割れ発生時の腐食量,土木学会論文集E, Vol.64, No.1, pp.110-121, 2008.2
- 17) 永山 勝: コンクリート構造物における鉄筋腐食の 非破壊モニタリングに関する研究,名古屋大学学位 論文,pp.84-89,1999
- 18) 徳富久二: コンクリートの引張・圧縮強度分布について,日本建築学会大会学術講演梗概集,pp.127-128, 1994
- 19) 大屋戸理明,金久保利之,山本泰彦,佐藤 勉:鉄 筋の腐食性状が鉄筋コンクリート部材の曲げ性状 に与える影響,土木学会論文集 E, Vol.62, No.3, pp.542-554, 2006.8
- 20) 山住克巳, 宮本征夫, 佐藤 勉: 鉄筋を腐食させた RC はりの劣化状態と耐力について, コンクリート 工学年次論文報告集, Vol.12, No.1, pp.557-562, 1990
- 21) 松田耕作, 横田 優, 萩山和樹, 松島 学: 塩害劣 化を受ける鉄筋コンクリートはりの耐荷性能に関 する実験的研究, コンクリート工学年次論文集, Vol.30, No.1, pp.807-812, 2008
- 22) 倉知星人, 佐藤孝史, 小林孝一, 六郷恵哲: 塩害に よる鉄筋の性能低下が RC はり部材の耐荷性能に与 える影響, コンクリート工学年次論文集, Vol.30, No.1, pp.819-824, 2008
- 23) 小林孝一: 塩害劣化した RC はり部材の曲げ耐荷性 能に関する実験的研究, コンクリート構造物の補修, 補強, アップグレードシンポジウム論文報告集, 第 6巻, pp.231-236, 2006
- 24) 井上寛規, 檜貝 勇, 中村 光: RC 部材における せん断補強鉄筋の効果: コンクリート工学年次論文 報告集, Vol.21, No.3, pp.463-468, 1999
- 25) 斉藤成彦, 高橋良輔, 檜貝 勇:鉄筋の腐食分布が RC はり部材の曲げ耐荷性状に及ぼす影響, 土木学 会論文集 E, Vol.64, No.4, pp.601-611, 2008.11